

# Grafika

## Szare jest piękne

Bogusław Jackowski

### Wprowadzenie

Przypuszczalnie większość użytkowników komputerów osobistych zdążyła się już zetknąć z problematyką modelowania odcieni szarości. Praktycznie każdy program graficzny, taki jak *PC Paintbrush*, *Aldus PhotoStyler*, *Corel Photo-Paint*, *Micrografix Picture Publisher*, itp., posiada — wśród wielu innych — opcję zwaną *halftoning*. Cóż to oznacza?

Otóż założmy, że dysponujemy danymi (pochodzącymi np. ze skanera lub stanowiącymi wynik obliczeń) zawierającymi zapis obrazu w postaci pikseli o różnych poziomach szarości, powiedzmy od 0 do pewnej liczby  $n$ . Nie nastręcza kłopotu wizualizacja tych danych na urządzeniu mającym możliwość odtwarzania pikseli z zachowaniem informacji o odcieniach szarości, np. na ekranie obsługiwanym przez kartę graficzną *VGA*. Niestety, są też urządzenia, które mają jedynie piksele dwustanowe — włączony/wyłączony (karta graficzna *Hercules*, typowe drukarki, fotonaświetlarki). Jeśli więc obraz z odcieniami szarości ma zostać przesłany na takie urządzenie, zachodzi konieczność przekodowania „szarych” danych na dane „czarno-białe”. Zabieg ten to właśnie *halftoning*, czyli po polsku *cieniowanie*.

Idea jest prosta: jeden lub więcej szarych pikseli należy zastąpić pewną liczbą pikseli czarnych i białych ułożonych w stosowny wzorek. Okazuje się, że ostateczny efekt w sposób niezwykle istotny zależy od użytego wzorku. Jeśli zredukowana jest przy tym ilość informacji, np. jeśli na wejściu mamy piksele o 65-ciu poziomach szarości, a do modelowania używamy kwadratów o rozmiarach  $4 \times 4$  piksele (17 odcieni), to sposób redukcji też oczywiście ma wpływ.

Niniejszy tekst jest przedrukiem — z niewielkimi zmianami — artykułu opublikowanego w materiałach III Górskiej Międzynarodowej Szkoły PTI (Szczyrk, czerwiec 1991).

Moim celem jest pogładowe omówienie podstawowych problemów, na jakie można się natknąć przy cieniowaniu oraz praktycznych sposobów rozwiązywania tych problemów.

W omawianych przykładach będę korzystał z danych o 65-ciu odcieniach szarości reprezentowanych przy pomocy znaków ASCII w następujący mnemotechniczny sposób:

znak '.' oznacza kolor biały (poziom 0),  
 znak ':' — pierwszy poziom szarości,  
 znak '|' — drugi poziom,  
 cyfry '0'...'9' — poziomy szarości 3...12,  
 litery 'a'...'z' — poziomy szarości 13...38,  
 litery 'A'...'Z' — poziomy szarości 39...64.

Niniejszy tekst wraz z ilustracjami został wydrukowany na drukarce laserowej typu *Hewlett-Packard* o rozdzielczości  $600 \times 600$  pikseli na cal, przy czym ilustracje zostały przygotowane z rozdzielczością  $300 \times 300$  pikseli na cal.

### Podójście naiwne

Najprostsze możliwe dane to pasek o narastającym równomiernie zaczerwienieniu:

```
.. | 0123456789abc ... KLMNOPQRSTUVWXYZ
                                     :
.. | 0123456789abc ... KLMNOPQRSTUVWXYZ
```

zaś najprostszy możliwy wzorek odpowiadający poziomowi szarości  $k$  to kwadrat  $8 \times 8$  pikseli zawierający  $k$  czarnych pikseli i  $64 - k$  białych pikseli rozmieszczonych losowo. Wynik jest — można rzec — ciekawy:



Ilustracja 1

Niestety, w przypadkach bliższych życia ten naiwny sposób zawodzi:



Ilustracja 2

```

qqmljhfefhhfecffcccccaccccaacccccacfhhhhhjjmloml
jjjjhfefhhhfcaaca8855achmoqofaaaaafefhhhhjjhlhh
hhjjhfcccfheaaaac8785555mxCCEGHEEVh85858acfeccffefhcf
fhhhcaaaccccaaa87856544cxECGHHGGHJGGt54357aaa88aaaaaa
fehca8787aaaaaa765433cCHEXCEGHGJJJIA521358785745558a78
accaaa878878587854335CEvLcjxehIJJJLx32345556443355a8
acda7a85555555554313qCc00:|28eJLLLLLo001233331244478
cfaa55444446544322cEh|...:|8sEJLLLLLGG6100202002313355
cca5443333344345203c4:...:|3mEJLNLlLQ022110102201144
cfe543110234314420fGz2:...:04hxGLLNONNH8a4353321201022
jqo842352122323306zLo0:...:|25hsELNONNLvocef5a520|1011
vtsmcaeh322001|1gJJC0:...:|24jEONNONBxqtjefj3|0|101
zvsqooloog510||3vLLh032:3hfcmxHNONNHExooqjsa|||1
Axxqvzvxvmq3110aELJztoq31sxmvEGEELNONJECztqtzm3|0|00
zxzxAxExAas44e8cHLLmhjq31xc5vVjaALNNONJGECzCCs4|||12
ACACECCGczvzjsAx1G0I3034|2m325525zONQQNLHECACEXa|0023
EEEGGJGHEHEJHECGCHNL4:...:27|...:3jGONONONLEEECEGGEq33344
GJJJGHEGJJJJJJJLLc:...:270::|cxLNONNLxxuvvvtleehj
JLLJJEHGJJJLLNLlLo|:1:5h2:|6qEONQQQNOLLJGHEEzvtqtzC
JLLLLLJGJJJLLNONONC810dACE|3hxHNONQPNONLLLLJJLGGHECE
LJLLLLLJLLJLNONNONOGh513uthfamzGONQQQPOLLJLLLLLJGEE
JILLJLLNLNONNONNLm5a51xa51CJNNQPQQNLJJJJJJJGHEHJ
JLLLLNONOLLNLNONOONec04mqmejxHLNOQPQPOLLGJJJJJJJLLJ
LLLLNONNLJJJJGLNNOLE8:|6hqAJLNONQPQQNLGJGHEHLLJLJJI
LNLNONONOLJJJELONONNOE63evGJLNONQPQQNLHGHEGJJJJJJ
LONLLNNONLJGcxGGQNNNJCGLLNONONQPQQNONGJJGLLLJLJJ
NLOLLJJJGECxzAzEQQQNONJGLLLLLLJLNQQQNOJJGHLLLLLJ
ONNLJGHGEEAzAzACELQNNQNOEOCGJHCELQPPQPNJIGEGGJJJGGG
LLJGHEEEECzzAEEGLQPQPNONG8htzzztvGQQQQQQLJEECEzCExxvC
JJGECzEJJJEEGELJLNQQNNLca5emj1ANQPQNPQNONOGJLvlvzE
JJEHEHJLJENLLLNQQPQQNHq54355548aqLQNNQPONNOLLzmxEC
JLJGEGJGHGLLOJLNPQQLve3||1220114hgNNOQPQNLJCs00qCEE
LLGEEECzJLLNLJLNQQNQ4|:::|:|14jLONNQQQQQJqhmxxvAC
JJECEAxGJLLJNLQPPQG5|:|:::|15hJNQNQPQQNLcvqqqsq
EJExvxvzEJJJJJNQNQL1:::|:|:|06oLNQNQNQLNQQNJczsmxm
GJGvoosvAGJEGLQPPExc:::|:|:|025qLNONNLHGLNQQNJevlhe8
JLGHEvmqxEGHLQPQJma|:|:|:|15sJNLExtsvELQPQNLAEzx
EJGGGEztvxzJQPQNZ4|:|:|:|:|27xHJExmozJQQPQQNLJJJC
GJECEAAztxQQQPLA3:::|:|:|:|08qECvCLNQPQQPQQQNJJIH
EEAxvsqANQPQJGq3:::0:::|:|:|2jxGLQPQQPQQPQQQLGHG
AAzAzACGQQQQQLGEEcthc1:::|:|:|04sCJQQQQPQQPQQPQNEEC
zxAzCCGQPQPNJEHJGEGCztfmfa88jzHJNQPQNPQQPQQQNLHE
CxvvsCQQQQQLJJLJJECEBEEEGHNLQSSQNOQPQPQQPQQQNJG
GCzAzAZHPQPQLLLLLNOLGEGEHLJLJNQPSPQNNLLNONQPQPOGE
HGEGHEELQSSSQNONONNHHGJLLLLLNPQQPQQQLJLJLNONPQQQNJz
EEEEJQPQSSSPONQNNONLLLLNOLNOQPQQPQNLJLJLNOQQQNNQNJ
txxxvLQSSSSSQNNQNONONONOPQQPQQSQNLJLJLNPQPQNNQJ
vqqtqxNssSSSQPQQPQQPQNONOPQQPQQSSPSQLJLJLQSSQQNOQNJ
xxxvXHSSSSSQPQQPQQPQQPQQPQSSSQNONNQQSSQPQNNOL
JJGHLQSSSSSQPQQSPQPQQPQQPQSSSQPQQSSSQPQQQNP
LLNNSSSSSSSSSSSSQPQQPQQPQQPQQSSSQPSSSSSQPQQQ
LLQSSSSSQSSSSSSSQPQPQQPQQSSSSSQSSSSSQPQQPQQ
NQSQQSQPQSSSSSSSQPQQPQQSSSSSSSQSSSSSQPQQPQP
QSSSQPQPQSSSSSSSQPQPQSSSSSSSQSSSSSQSSSSSQPQQP
SSSQSSSSSSSSSSSQSSSQPQQSSSSSSSQPQQPQQPQQP
SSSQPSSSSSSSSSSSQSSSSSQSSSSSQSSSSSQPQQPQQ
SSSQNONOQQSSSSSSSSSSSQSSSSSSSQSSSSSQSSSQPQP
SSSQNNQPQSSSSSSSSSSSQSSSSSSSQSSSSSQSSSQPQQ
SSSQNJLQNONQNEEJNSSSSSSSSSSSSSSSSSSSSSQPQP
SSSQNONPNQNLAc8chqAJQSSSSSSSSSSSSSSSSSSSQPQQ
SSSNQNSQQQja8achjqsVEQSSSSSSSSSVUSSSSSSSSSSSP
SUVSSSSSQGmhehfm1mqCLQSSSSSSSVUSSSSSSSSSSSQ
SUVUSSSSSQLVsqmjjjjjmoqzJQSSSSSVUSSSSSSSSSSSQ
SVUVUSSVUUUSQJGHCvqmjjjh1mjoJQSSSQSSSQSSSSSSSQ

```

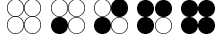
Ilustracja 2 przedstawia rezultat takiego postępowania z danymi zaczerpniętymi z pracy Knutha (D. E. Knuth, *Fonts for Digital Halftones*, TUGboat, Vol 8, 1987, No. 2, str. 135–160; p. lewy łam). Tak przetworzony obraz, o fakturze przypominającej akwatintę, może się przydać w zasadzie do celów specjalnych.

**Rozmycie uporządkowane**

Staliśmy zatem przed problemem w jaki sposób „rozmywać” szare piksele (w literaturze angielskiej używa się określenia *dither*, co oznacza *drzenie*, *dygotanie*). Nietrudno wyobrazić sobie jak można by reprezentować odcienie szarości o poziomach 0–4. W sposób dość naturalny nasuwa się zapełnianie kwadratu 2 × 2 w kolejności:

2	1
0	3

Innymi słowy odcieniom szarości 0–4 odpowiadałyby piksele poczwórne:



Mniej czywiste jest rozmywanie większej liczby poziomów szarości. Sposób zaproponowany przez Bayera rekursywnie powiela ten schemat (B. E. Bayer, *An Optimum Method for Two-Level Rendition of Continuous-Tone Pictures*, *Int. Conf. Commun.*, 1973, str. (26-11)–(26-15)). Podejście to można by określić jako *rozmycie uporządkowane* (ang. *ordered dither*) w odróżnieniu od rozmycia przypadkowego, określonego przed chwilą jako „podejście naiwne”. Bayer zaproponował następujące związki rekurencyjne dla wyznaczenia macierzy  $B^{(k)}$ ,  $k = 1, 2, 4, 8, \dots$ , określających kolejność zapełniania kwadratu  $k \times k$ :

$$B^{(1)} = [0]$$

$$B^{(k)} = \begin{bmatrix} 4B^{(k/2)} + 2E^{(k/2)} & 4B^{(k/2)} + E^{(k/2)} \\ 4B^{(k/2)} & 4B^{(k/2)} + 3E^{(k/2)} \end{bmatrix}$$

gdzie  $E^{(k)}$  jest macierzą  $k \times k$ , taką że  $E_{i,j}^{(k)} = 1$ .

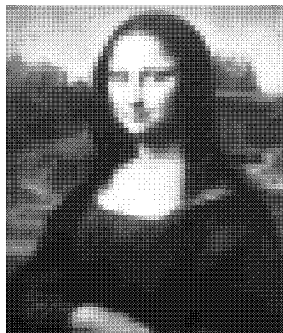
Dla  $k = 4$  oraz  $k = 8$  otrzymuje się wówczas następującą kolejność zapełniania:

$$B^{(4)} = \begin{bmatrix} 10 & 6 & 9 & 5 \\ 2 & 14 & 1 & 13 \\ 8 & 4 & 11 & 7 \\ 0 & 12 & 3 & 15 \end{bmatrix}$$

$$B^{(8)} = \begin{array}{|c|c|c|c|c|c|c|c|} \hline 42 & 26 & 38 & 22 & 41 & 25 & 37 & 21 \\ \hline 10 & 58 & 6 & 54 & 9 & 57 & 5 & 53 \\ \hline 34 & 18 & 46 & 30 & 33 & 17 & 45 & 29 \\ \hline 2 & 50 & 14 & 62 & 1 & 49 & 13 & 61 \\ \hline 40 & 24 & 36 & 20 & 43 & 27 & 39 & 23 \\ \hline 8 & 56 & 4 & 52 & 11 & 59 & 7 & 55 \\ \hline 32 & 16 & 44 & 28 & 35 & 19 & 47 & 31 \\ \hline 0 & 48 & 12 & 60 & 3 & 51 & 15 & 63 \\ \hline \end{array}$$

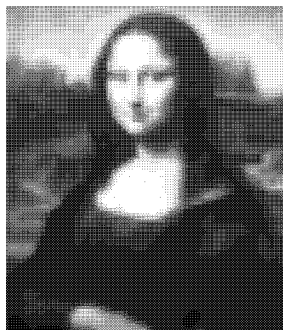
Rozmywanie uporządkowane sprowadza się w istocie do kolejnego zaczerniania możliwie dalekich od siebie pikseli.

Mimo tego dość wyrafinowanego sposobu rozmywania pikseli „Knuthowa” *Mona Lisa* nadal nie prezentuje się najpiękniej (ilustracja 3). Wyraźnie widoczne są elementy mozaiki wielkości  $8 \times 8$  pikseli. Przy zastosowanej rozdzielczości (300 dpi) nieuniknione wydaje się modelowanie szarości za pomocą pikseli  $4 \times 4$ , co oznacza redukcję liczby odcieni z 65 do 17.



Ilustracja 3

Żeby zapobiec zmniejszaniu się obrazu wraz ze zmniejszeniem pikseli, można wstawić między każde dwa wiersze i każde dwie kolumny dodatkowy wiersz i dodatkową kolumnę metodą interpolacji liniowej, a następnie każdy piksel szarości  $k$  zamienić na piksel o szarości  $k \bmod 4$ .



Ilustracja 4

Rezultat (ilustracja 4) jest niewiele lepszy: wprawdzie kontury postaci nie są już takie kanciate, wyraźnie jednak zauważa się zmniejszenie liczby odcieni szarości. Jest to niewątpliwy defekt.

### Algorytm Floyd-Steinberga

Defektu tego można uniknąć przez zastosowanie algorytmu zaproponowanego przez Floyda i Steinberga (R. Floyd, L. Steinberg, *An Adaptive Algorithm for Spatial Gray Scale*, *SID 1975 Digest*, *Int. Symp. Dig. Tech.*, 1975, str. 36–37). Ich pomysł polega na rozłożeniu błędu, jaki się popełnia przy redukcji liczby odcieni szarości, na piksele sąsiednie.

Założmy, że na wejściu mamy dane w postaci tablicy  $[P_{i,j}]$ ,  $0 \leq P_{i,j} \leq p$ , wielkości  $m \times n$ . Innymi słowy  $[P_{i,j}]$  przedstawia obraz o  $p+1$  poziomach szarości. Należy przekształcić tablicę  $[P_{i,j}]$  na tablicę  $[R_{i,j}]$  takich samych rozmiarów, przy czym  $0 \leq R_{i,j} \leq r < p$ , czyli że wynikowa liczba poziomów szarości ma być mniejsza.

W omawianym algorytmie tabela  $[P_{i,j}]$  jest przeglądana w porządku leksykograficznym i liczba poziomów szarości jest redukowana w oczywisty sposób:

$$R_{i,j} \leftarrow \text{round}\left(\frac{r}{p} P_{i,j}\right)$$

Popełnia się przy tym błąd

$$\varepsilon_{i,j} = \frac{r}{p} P_{i,j} - \text{round}\left(\frac{r}{p} P_{i,j}\right)$$

Kluczowym punktem algorytmu jest rozłożenie tego błędu na sąsiednie piksele w kierunkach wschód, południowy wschód i południe z wagami odpowiednio  $3/8$ ,  $1/4$ ,  $3/8$ , i uwzględnienie tego błędu w dalszej obróbce.

Algorytm Floyd-Steinberga można zapisać następująco:

**dane:** tablica liczb całkowitych  $P_{m \times n}$   
liczby całkowite  $p > 0$  oraz  $r > 0$   
 $0 \leq P_{i,j} \leq p$ ,  $r < p$

**inicjalizacja:**

for  $i := 1$  to  $m$  do  
for  $j := 1$  to  $n$  do  $\varepsilon_{i,j} := 0$ ;

**główny algorytm:**

for  $i := 1$  to  $m$  do  
for  $j := 1$  to  $n$  do  
begin  
 $R_{i,j} := \text{round}\left(\frac{r}{p} P_{i,j} + \varepsilon_{i,j}\right)$ ;  
if  $R_{i,j} < 0$  then  $R_{i,j} := 0$ ;

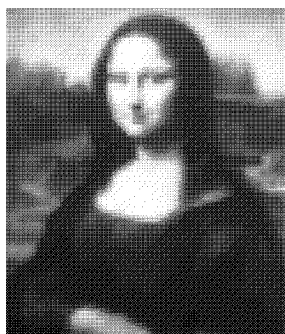
```

if  $R_{i,j} > r$  then  $R_{i,j} := r$ ;
 $\varepsilon_{i,j} := \frac{r}{p} P_{i,j} - R_{i,j}$ ;
 $\varepsilon_{i,j+1} := \varepsilon_{i,j+1} + \frac{3}{8} \varepsilon_{i,j}$ ;
 $\varepsilon_{i+1,j+1} := \varepsilon_{i+1,j+1} + \frac{1}{4} \varepsilon_{i,j}$ ;
 $\varepsilon_{i+1,j} := \varepsilon_{i+1,j} + \frac{3}{8} \varepsilon_{i,j}$ ;
end;

```

wynik: tablica  $R_{m \times n}$ ,  $0 \leq R_{i,j} \leq r$ ;

Tym razem poprawa jakości obrazu (ilustracja 5) jest istotna. Dzięki sprytnemu algorytmowi Floyda-Steinberga bogactwo odcieni szarości zostało zachowane. Natomiast strukturę rastra można wciąż dostrzec i jest ona dość dokuczliwa ze względu na własności ludzkiego wzroku, wyczulonego na linie poziome i pionowe. Z tego właśnie powodu prawie wszystkie zdjęcia w gazetach mają raster układający się wzdłuż przekątnych.

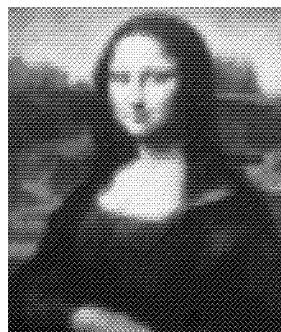


Ilustracja 5

Zbliżony efekt można uzyskać umieszczając jak na szachownicy lewo- i prawoskośne piksele  $4 \times 4$ , to znaczy korzystając na przemian z tablic  $B_r^{(4)}$  oraz  $B_l^{(4)}$  zdefiniowanych następująco:

$$B_r^{(4)} = \begin{bmatrix} 10 & 6 & 9 & 5 \\ 2 & 14 & 1 & 13 \\ 8 & 4 & 11 & 7 \\ 0 & 12 & 3 & 15 \end{bmatrix} \quad B_l^{(4)} = \begin{bmatrix} 5 & 9 & 6 & 10 \\ 13 & 1 & 14 & 2 \\ 7 & 11 & 4 & 8 \\ 15 & 3 & 12 & 0 \end{bmatrix}$$

Ponadto kłuje w oczy zbyt jasna plama na czole i dekolcie *Mony Lisy*. Tę usterkę daje się stosunkowo łatwo usunąć, wystarczy *par force* zmniejszyć zakres szarości z  $0 \dots 16$  na, powiedzmy,  $1 \dots 16$ . Jest regułą, że kolor biały źle się prezentuje na tego typu obrazach, tym gorzej im mniejsza jest rozdzielczość urządzenia, i należy go w zasadzie unikać (o ile nie jest to efekt zamierzony). Ilustracja 6 przedstawia skutek uwzględnienia tych zmian.



Ilustracja 6

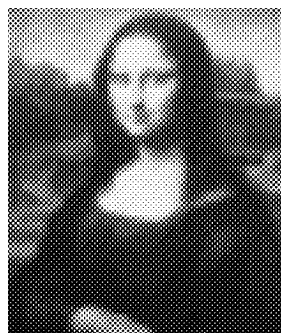
Rzeczą gustu jest ocena, która ilustracja jest ładniejsza — 5 czy 6. Raster wciąż się rzuca w oczy, obraz jest w obu przypadkach wyraźnie za ciemny. Niestety, przy tak małej rozdzielczości (na 1 cal przypada 75 pikseli wielkości  $4 \times 4$ ) trudno się spodziewać czegoś istotnie lepszego.

### Rozmycie przekątne

Okazuje się jednak, że widoczność rastra nie musi oznaczać złej jakości obrazu. Tak jest w przypadku metody zaproponowanej przez Garda (R. L. Gard, *Digital Picture Processing Techniques for the Publishing Industry, Computer Graphics and Image Processing*, 5, (1976), str. 151–171). Jego podejście oparte jest o inną koncepcję rozmywania — zamiast zaczerpnąć jak najdalej od siebie piksele, Gard najpierw zaczerpnął przekątne:

$$G_r^{(4)} = \begin{bmatrix} 14 & 10 & 5 & 1 \\ 12 & 8 & 7 & 3 \\ 2 & 6 & 9 & 13 \\ 0 & 4 & 11 & 15 \end{bmatrix} \quad G_l^{(4)} = \begin{bmatrix} 1 & 5 & 10 & 14 \\ 3 & 7 & 8 & 12 \\ 13 & 9 & 6 & 2 \\ 15 & 11 & 4 & 0 \end{bmatrix}$$

Piksele lewo- i prawoskośne powinny być układane w szachownicę, tak jak to uczyniliśmy dopiero co z pikselami  $B_r^{(4)}$  oraz  $B_l^{(4)}$ .



Ilustracja 7

Rezultat (ilustracja 7) jest zdecydowanie najlepszy z dotychczasowych. Raster — dzięki ułożeniu wzdłuż przekątnych — nie drażni wzroku, a przy większych obrazach lub większej rozdzielczości przestaje być zauważalny. Poprawiła się też skala odcieni szarości, obraz jest nieco jaśniejszy, dzięki czemu widoczne są szczegóły w jego dolnej części.

### Krótki wypad w stronę generowania obrazów

Zgromadzone doświadczenia zachęcają do próby wykorzystania ich przy cieniowaniu uzyskanego drogą obliczeń obrazu obiektu trójwymiarowego, np. kuli. Jasność  $I(x, y, z)$  powierzchni kuli w punkcie  $(x, y, z)$  można z niezłym przybliżeniem określić na podstawie półempirycznego wzoru (T. Pavlidis, *Grafika i przetwarzanie obrazów*, WNT, 1987, str. 284–286):

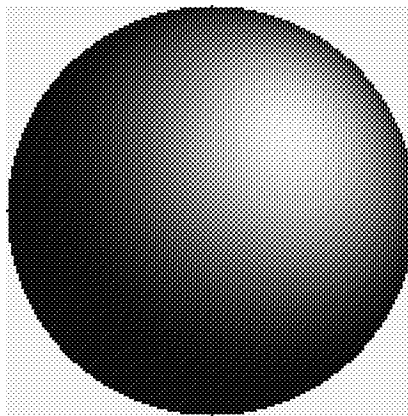
$$I(x, y, z) = c_d s \diamond \mathbf{n} + c_r \left( \frac{\mathbf{s} + \mathbf{d}}{2} \diamond \mathbf{n} \right)^\beta$$

gdzie  $c_d$ ,  $c_r$  — współczynniki odpowiednio rozproszenia i odbicia charakteryzujące daną powierzchnię (do obliczeń przyjęte zostały wartości  $c_d = 1$ ,  $c_r = 20$ ),  $\mathbf{n}$  — wektor normalny do powierzchni w punkcie  $(x, y, z)$ ,  $\mathbf{s}$  — wektor wyznaczający kierunek źródła światła,  $\mathbf{d}$  — wektor wyznaczający kierunek obserwatora,  $\beta$  — współczynnik empiryczny (do obliczeń przyjęta została wartość  $\beta = 4$ ), zaś operacja  $\mathbf{u} \diamond \mathbf{v}$  jest zdefiniowana jako

$$\mathbf{u} \diamond \mathbf{v} = \max \left( 0, \frac{\mathbf{u} \cdot \mathbf{v}}{\|\mathbf{u}\| \|\mathbf{v}\|} \right)$$

Pierwszy składnik formuły opisuje rozproszenie światła. W przypadku idealnym światło rozproszone rozchodzi się we wszystkich kierunkach z takim samym natężeniem, zależnym jedynie od kąta padania światła na powierzchnię. Drugi człon pozwala na uwzględnienie połyskliwości powierzchni i stanowi półempiryczne uogólnienie prawa stwierdzającego, że kąt padania musi być równy kątowi odbicia (im większa wartość współczynnika  $\beta$ , tym lepiej człon ten opisuje klasyczne prawo odbicia).

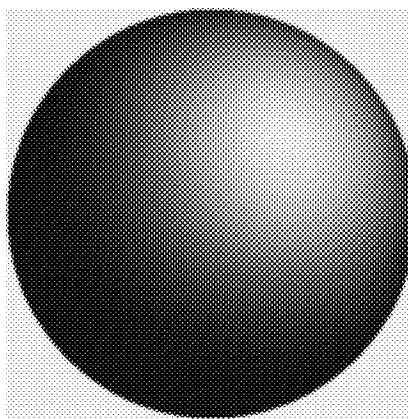
Za pomocą powyższej zależności zostało wyznaczone oświetlenie kuli o poziomach szarości 0...255, następnie liczba poziomów została zredukowana do 17 metodą Floyda-Steinberga, wreszcie została użyta metoda Garda — rezultat tego postępowania przedstawia ilustracja 8. Wynik jest trochę nie taki, jak by się chciało: kula wyszła nieco kanciasta.



Ilustracja 8

Efektu tego można się pozbyć przez starannejsze określanie szarości pikseli granicznych. Na przykład wystarczy dla takich pikseli wyznaczyć stosunek pola tej części piksela, która znajduje się wewnątrz obszaru (tu: koła) do pola części znajdującej się poza obszarem i wyznaczyć efektywne oświetlenie piksela granicznego jako odpowiednią średnią ważoną.

Ilustracja 9 przedstawia obraz tej samej kuli z brzegiem wygładzonym taką właśnie metodą (w literaturze anglojęzycznej zabieg ten znany jest jako *anti-aliasing*).



Ilustracja 9

### Uwagi końcowe

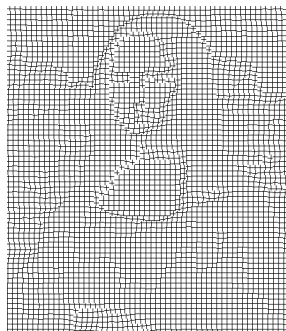
Omówione techniki odtwarzania obrazów z odcieniami szarości na urządzeniach czarno-białych w zasadzie wystarczają w większości praktycznych zastosowań. Czasem jednak pewne modyfikacje są niezbędne. Na przykład Knuth w cytowanej pracy stosuje algorytm Floyda-Steinberga

z innymi wagami, a błąd przenosi także w kierunku południowozachodnim. Ponadto uwzględnia osobliwości drukarek laserowych, polegające na tym, że tak piksele Bayera, jak i piksele Garda zaczernione w połowie dają optycznie poziom czerni większy niż 50%. Uwzględnienie tego efektu wymaga wyznaczenia wartości  $R_{i,j}$  nie za pomocą funkcji *round*, jak w opisaney tu wersji algorytmu, ale za pomocą nieco bardziej zawiłej procedury. Tym, którzy chcieliby poznać zagadnienie bardziej szczegółowo, oprócz literatury cytowanej w tekście można polecić jeszcze dwie przeglądowe pozycje literaturowe:

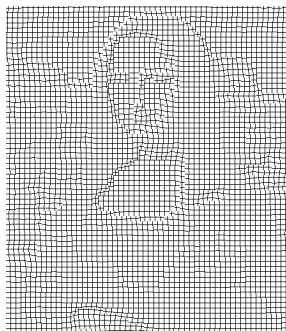
J. F. Jarvis, C. N. Judice, W. N. Ninke, *A Survey of Techniques for the Display of Continuous Tone Pictures on Bilevel Displays, Computer Graphics and Image Processing*, 5, 1976, str. 13–40.

D. F. Rogers, *Procedural Elements for Computer Graphics*, McGraw-Hill, 1985.

Na zakończenie nie całkiem poważne spostrzeżenie. Ilustracja 2, jak już wspominałem, może być uznana za obraz przetworzony specjalną techniką do specjalnych celów. Tropem tym można pójść dalej i — zamiast skupiać się na jak najdoskonalszym cieniowaniu — użyć zupełnie abstrakcyjnych schematów rozmywania. Oto przykład, co można uzyskać w ten sposób:



Ilustracja 10



i ostatnia.

Nietrudno zgadnąć, jaki schemat „rozmywania” został tu zastosowany. Za podsuniecie innych ciekawych efektów, dających się uzyskać tą metodą, będę niezmiernie wdzięczny.

## Zarząd GUST-u

W wyniku wyborów przeprowadzonych na walnym zebraniu GUST-u (2 maja Bachotek) w skład zarządu GUST-u na drugą kadencję weszli:

1. Tomasz Przechlewski (Gdańsk) – prezes,
2. Jerzy Ludwichowski (Toruń) – wiceprezes,
3. Marek Ryćko (Warszawa) – wiceprezes,
4. Bogusław Lichoński (Gdańsk) – skarbnik,
5. Jolanta Szelatyńska (Toruń) – sekretarz,
6. Maria Budzik (Poznań),
7. Włodzimierz Bzyl (Gdańsk),
8. Bogusław Jackowski (Gdańsk),
9. Ewa Koisar (Warszawa),
10. Mariusz Olko (Warszawa),
11. Stanisław Wawrykiewicz (Gdańsk),

W 1995 r. odbyły się dwa spotkania zarządu w nowym składzie (2 maja w Bachotku oraz 16 września w Toruniu). Podjęto na nich następujące ważniejsze decyzje:

1. Zmieniono siedzibę GUST-u. Nowy adres grupy ustalono na: Centrum Fizyki Teoretycznej PAN, Al. Lotników 32/46, 00-668 Warszawa.
2. Postanowiono dofinansować ze środków GUST (1800 zł) prace Bogusław Jackowskiego dt. udostępnienia na zasadach *public domain* fontów PostScript-owych.
3. Staszek Wawrykiewicz został koordynatorem grupy roboczej dt. projektu dystrybucji  $\TeX$ -a.

## GUST ma swoją domenę!

Połączone wysiłki Krzysia Leszczyńskiego i Jurka Ludwichowskiego zaowocowały utworzeniem domeny GUST-u. „Na dziś” możemy korzystać z dwóch adresów. [ftp.gust.org.pl](ftp:gust.org.pl) to serwis *ftp* łączący z komputerem Politechniki Gdańskiej, na którym znajduje się archiwum  $\TeX$ -owe utrzymywane przez Staszka Wawrykiewicza (tzw. ŚTAN), przy współpracy Włodzimierza J. Martina. Jest to najbardziej kompletne archiwum dt. oprogramowania  $\TeX$ -owego do składania po polsku. Natomiast [www.gust.org.pl](http://www.gust.org.pl) to adres strony domowej GUST-u na komputerze Uniwersytetu Mikołaja Kopernika w Toruniu. Strona ta zawiera aktualne informacje o działalności grupy, konferencjach itp. W przygotowaniu uruchomienie innych adresów, jak np. [biuletyn@gust.org.pl](mailto:biuletyn@gust.org.pl) czy [sekretariat@gust.org.pl](mailto:sekretariat@gust.org.pl). (TP)